

## 13. Texturen

Motivation:

in der Realität Vielzahl von geometrischen Feinstrukturen

*Beispiele:*

- Maserungen und Muster von Holz, Marmor, Tapeten, Stoffen...
- Wolken, Rauch
- unebene Flächen wie Rauhfaserwände, rauhes Leder, Apfelsinenschalen, Baumstämme
- im Hintergrund sichtbare Häuser, Maschinen, Pflanzen, Personen

Detaillierte Oberflächen erfordern bei polygonaler Modellierung sehr viele, kleine Polygone

⇒ nicht akzeptabel in Bezug auf Rendering-Zeit und Speicherplatz

⇒ andere Möglichkeiten der Darstellung von Details notwendig

pragmatische Lösungen gefragt:

"All it takes is for the rendered image to look right."  
(Jim Blinn)

Texturen:

die Oberfläche z.B. einer Wand kann (zunächst) als ein einziges Polygon modelliert werden. Ein "Tapezieren" kann als Aufbringen eines Bildes auf die Oberfläche interpretiert werden. Diesen Vorgang bezeichnet man als "*Texturierung*".

3 Aspekte:

- Hinzufügen eines Musters zu einer glatten Fläche: *texture mapping*.
- Hinzufügen des Eindrucks von Rauheit zu einer glatten Fläche: *displacement mapping* und *bump mapping*
- Simulation der Umgebung auf der Fläche: *environment mapping*

# Geschichte von Texturen

---

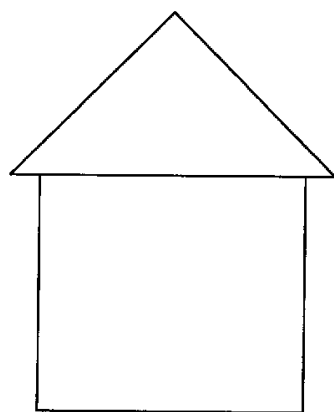
- Catmull/Williams`74: Grundlegende Idee
- Blinn und Newell`76: Reflection-Maps
- Blinn`78: Bump-Mapping
- Williams`78, Reeves`87: Shadow-Maps
- Smith`80, Heckbert`83: Texturierung von Polygonen
- Williams`83: MipMaps
- Miller/Hoffman`84: Illumination/Reflectance-Maps
- Perlin`85/Peachey`85: Solid Textures
- Green`86: Environment-Maps
- Akeley`93: Reality-Engine mit Textur-Hardware

Darstellung im Folgenden nach Schlechtweg 2001, Jackèl 2001, Krömker 2001, Slusallek 2000, Encarnação et al. Bd. 2, 1997; Bungartz et al. 1996

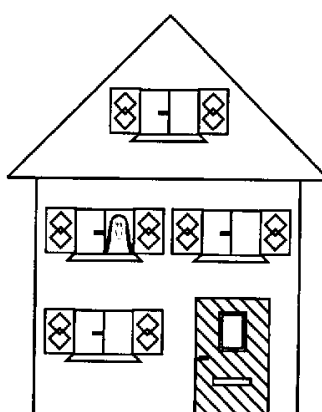
Einfachster Ansatz:

*Oberflächendetailpolygone*, die auf die Basispolygone koplanar aufgebracht werden

- beim Sichtbarkeitsentscheid oder Raytracing werden zunächst nur die Basispolygone getestet
- ist ein solches ganz unsichtbar, so gilt dasselbe auch für alle Detailpolygone
- bei der Beleuchtungsrechnung sind die Oberflächendetailpolygone maßgeblich



Basispolygone



Basispolygone mit  
Oberflächendetailpolygonen

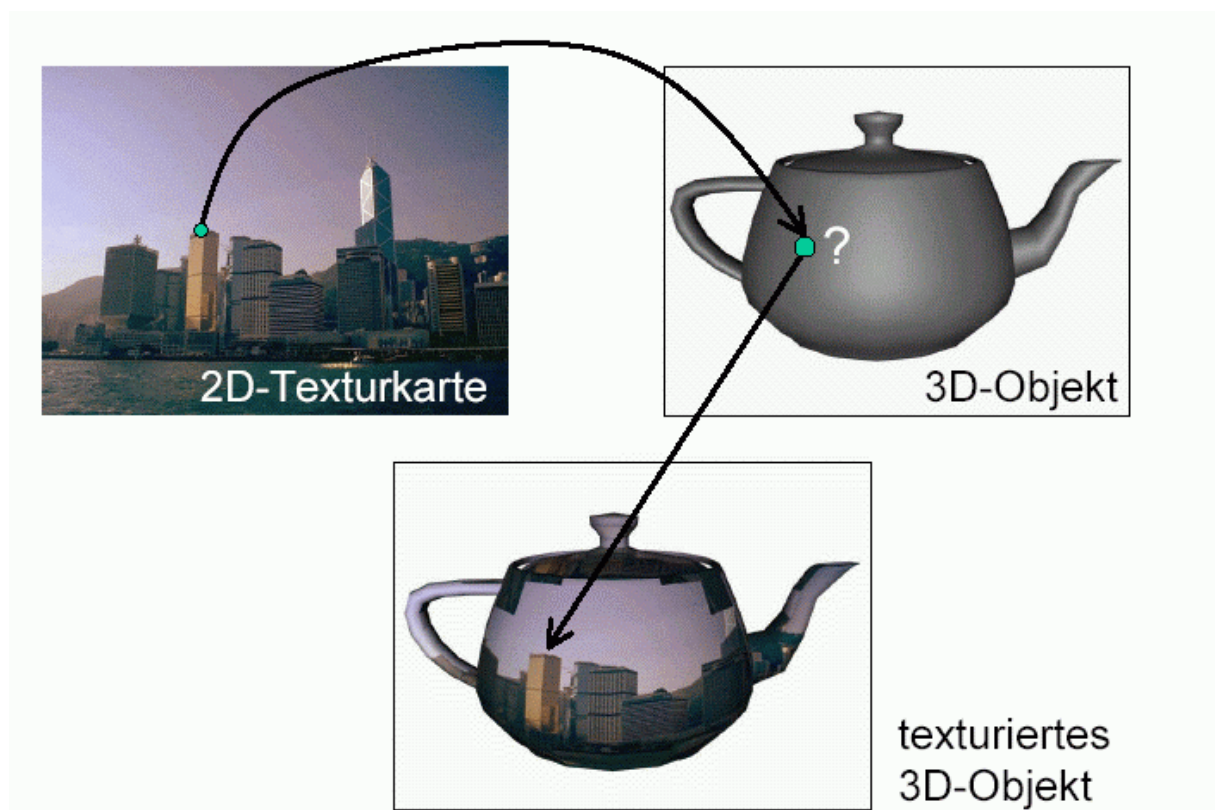
Der Ansatz ist bei vielen Details noch zu aufwändig (zu viele Detailpolygone)

Alternative:

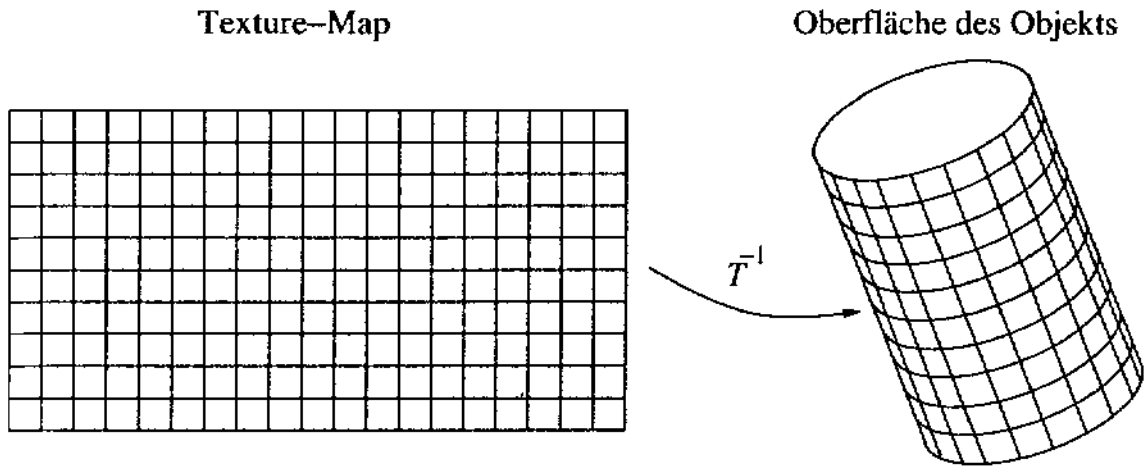
### *Texture Mapping*

Problemstellung:

Gegeben ist eine Textur in Form eines 2D-Bildes, aufgelöst in Textur-Pixel, die man auch "Texel" (Textur-Elemente) nennt. Wie werden diese Elemente auf die Oberfläche eines darzustellenden 3D-Objektes abgebildet?



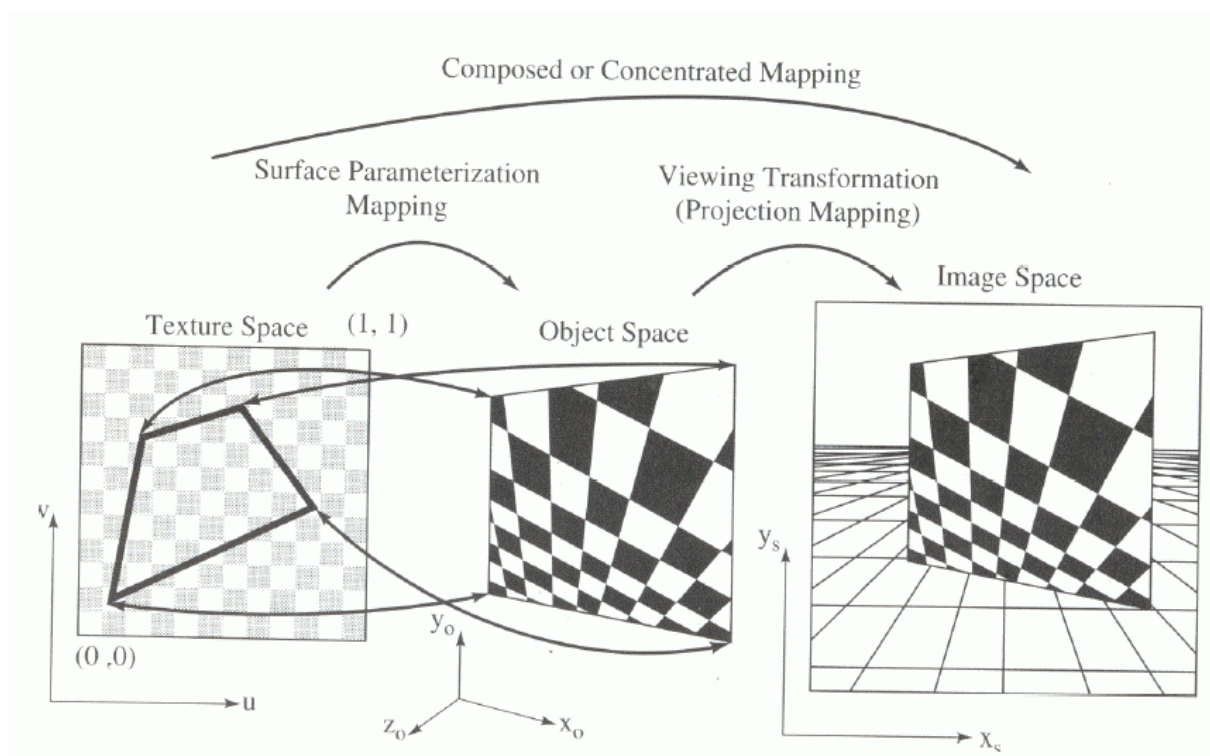
Das *Mapping* beschreibt, wie eine 2D-Textur bzw. ein Ausschnitt davon auf eine Fläche aufgebracht wird. Beim Rendering muss jedoch das *inverse Mapping-Problem* gelöst werden, d.h. den bekannten  $(x, y, z)$ -Koordinaten eines Punktes der Oberfläche im Objektraum müssen Texel-Koordinaten  $(u, v)$  (oft auch  $(s, t)$ , siehe VRML) zugeordnet werden.

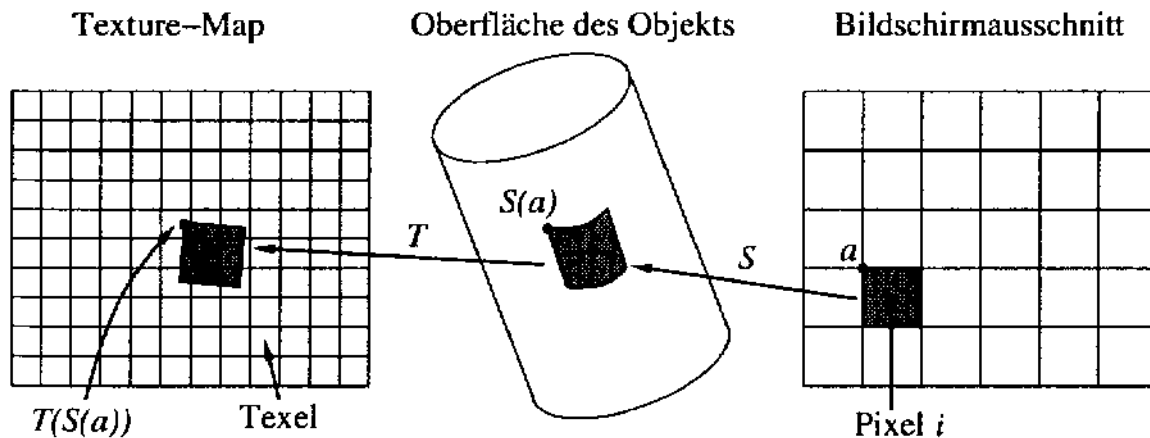


Insgesamt werden 2 Transformationen (Mappings) benötigt:

- Texturkoordinaten in Objektkoordinaten
- Objektkoordinaten in Bildkoordinaten (*viewing transformation*)

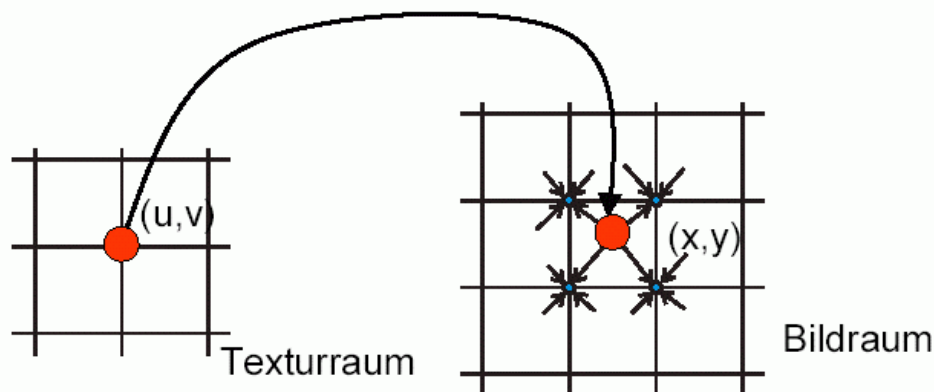
häufig werden beide Transformationen zu einer zusammengefasst (*composed mapping*, Texturabbildung vom Texturraum in den Bildraum).





Zusammengesetzte, inverse Abbildung:

**Texturabbildung vom Texturraum in den Bildraum:**



Der Farbwert des transformierten Pixels wird auf die benachbarten, ganzzahligen Bildraumkoordinaten aufgeteilt.

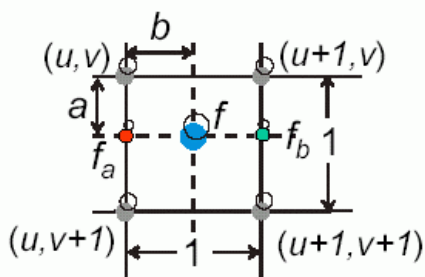
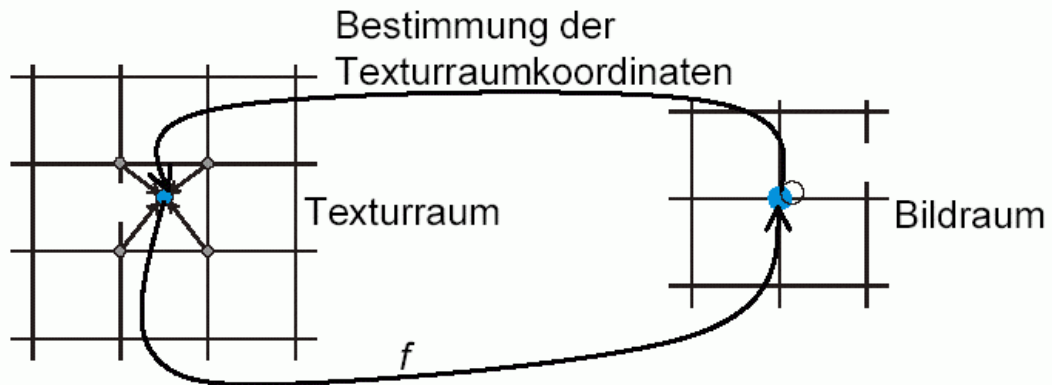
Einfacher Ansatz:

den Objektraum (und dortige, kompliziertere Strukturen) "umgehen" oder vereinfachen und die Texturabbildung (bzw. ihre Inverse) direkt mit einfachen Funktionen beschreiben

Varianten:

- affine Texturabbildung
- perspektivische Texturabbildung
- bilineare Texturabbildung
- "Two-Part" Texturabbildung mit einfacher Hilfsfläche anstelle der Original-Oberfläche im Objektraum

## Inverse Texturabbildung :



Bilineare Interpolation:

$$f_a = af(u,v) + (1-a)f(u,v+1)$$

$$f_b = af(u+1,v) + (1-a)f(u+1,v+1)$$

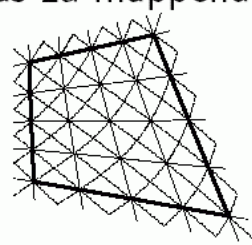
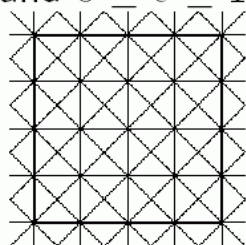
$$f = bf_a + (1-b)f_b$$

- Bilineares Mapping

- verwendet u. a. bei Gouraud- und Phong-Shading
- transformiert ein Quadrat in ein allgemeines Viereck
- allgemeine Form:

$$q(u,v) = (1-u)(1-v)P_{00} + u(1-v)P_{10} + (1-u)vP_{01} + P_{11}$$

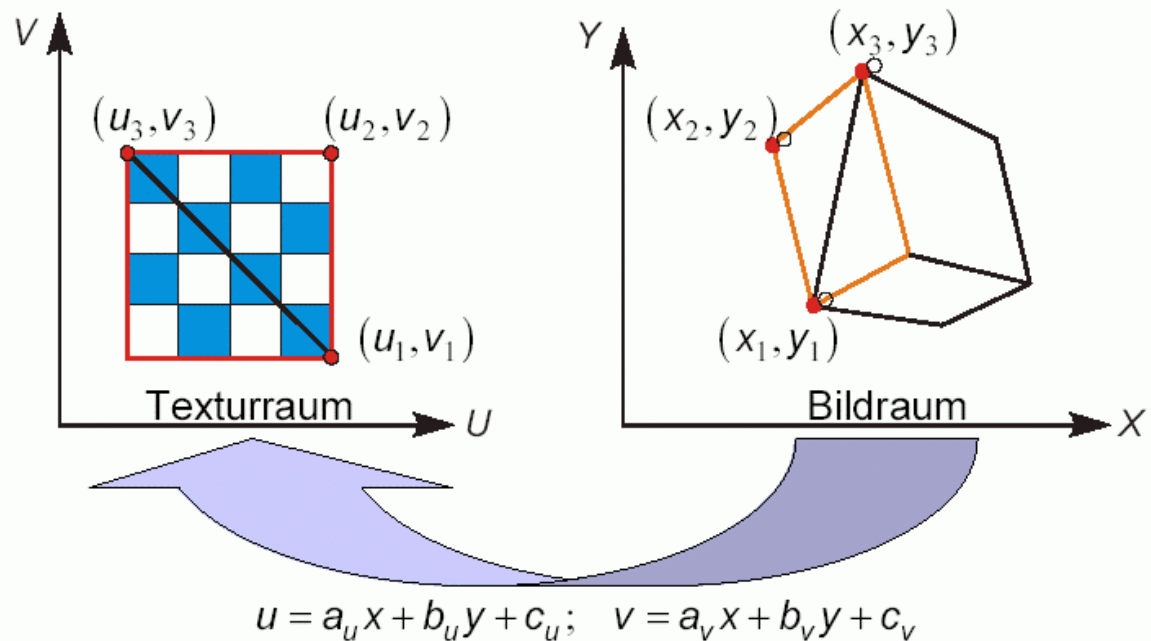
- $P_{ij}$  ( $i = 0, 1; j = 0, 1$ ) Eckpunkte des Vierecks im Ziel-Koordinatensystem
- $0 \leq u \leq 1$  und  $0 \leq v \leq 1$  definiert das zu mappende Quadrat



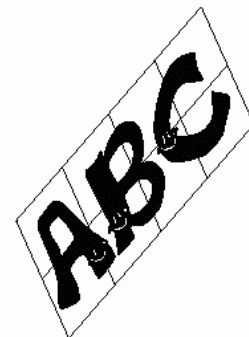
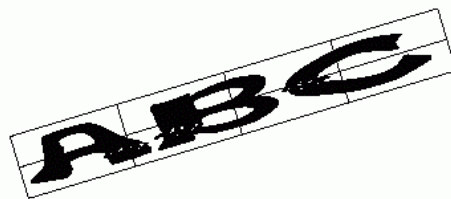
- vertikale und horizontale Geraden bleiben Geraden
- diagonale Geraden werden zu Kurven
- Kompositionen bilinearer Transformationen sind biquadratisch, schwer handhabbar

## Affine Texturabbildung:

Bestimmung der Texturraumkoordinaten  $(u,v)$  als Funktion der Bildraumkoordinaten  $(x,y)$



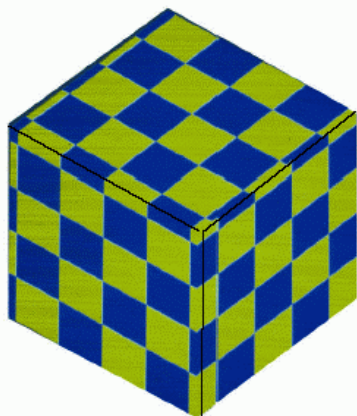
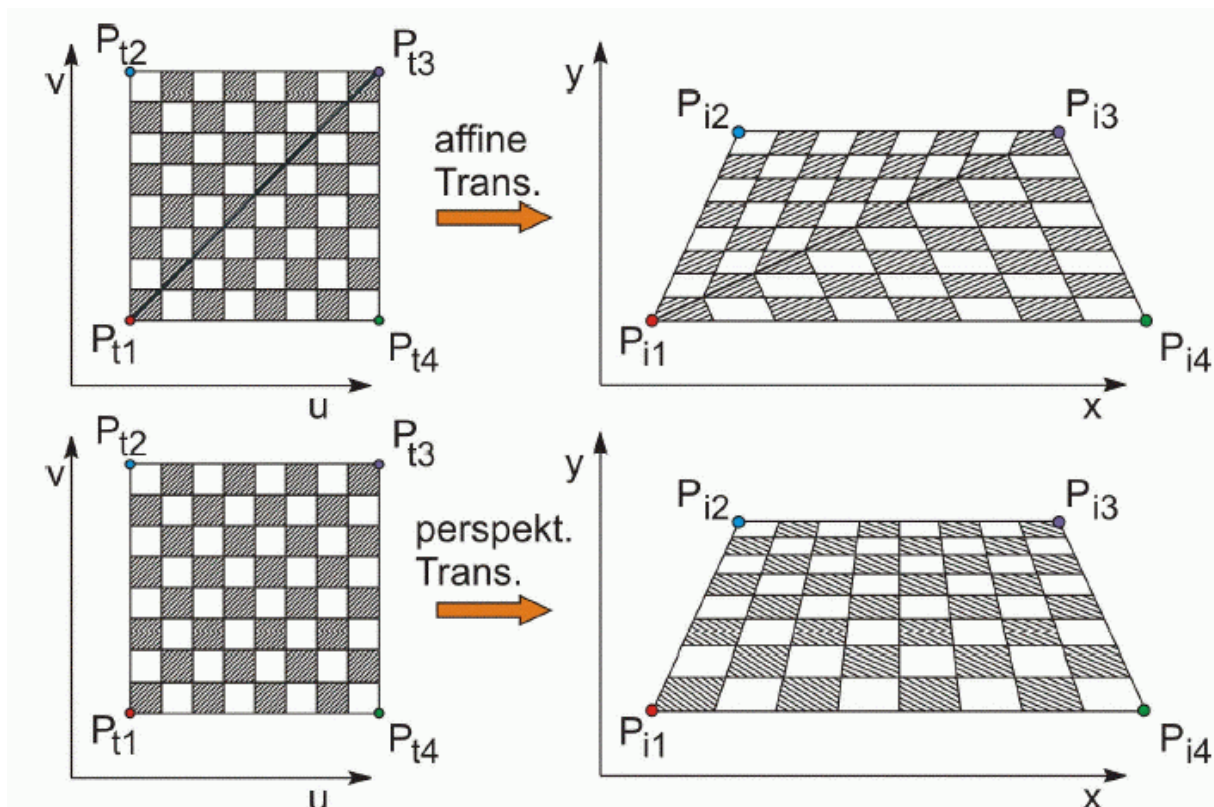
- Affine Mapping-Transformation
  - Skalierungen, Rotationen, Translationen, Scherungen und Kombinationen davon
  - erhalten parallele Linien
  - Dreiecke  $\rightarrow$  Dreiecke, Rechtecke  $\rightarrow$  Parallelogramme



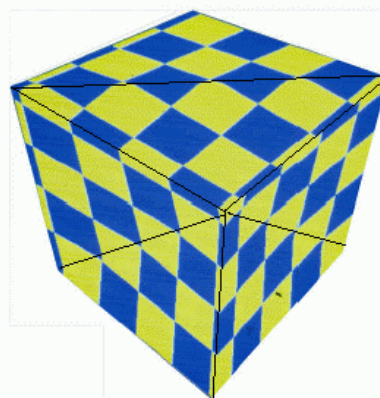


Problem der affinen Texturabbildung:  
 bei Anwendung auf perspektivisch projizierte Bilder führt die  
 affine Interpolation aus den Texturwerten an den Eckpunkten  
 zu Artefakten ("Bruchlinien").

Vergleich affine Texturabbildung vs. perspektivische  
 Texturabbildung:



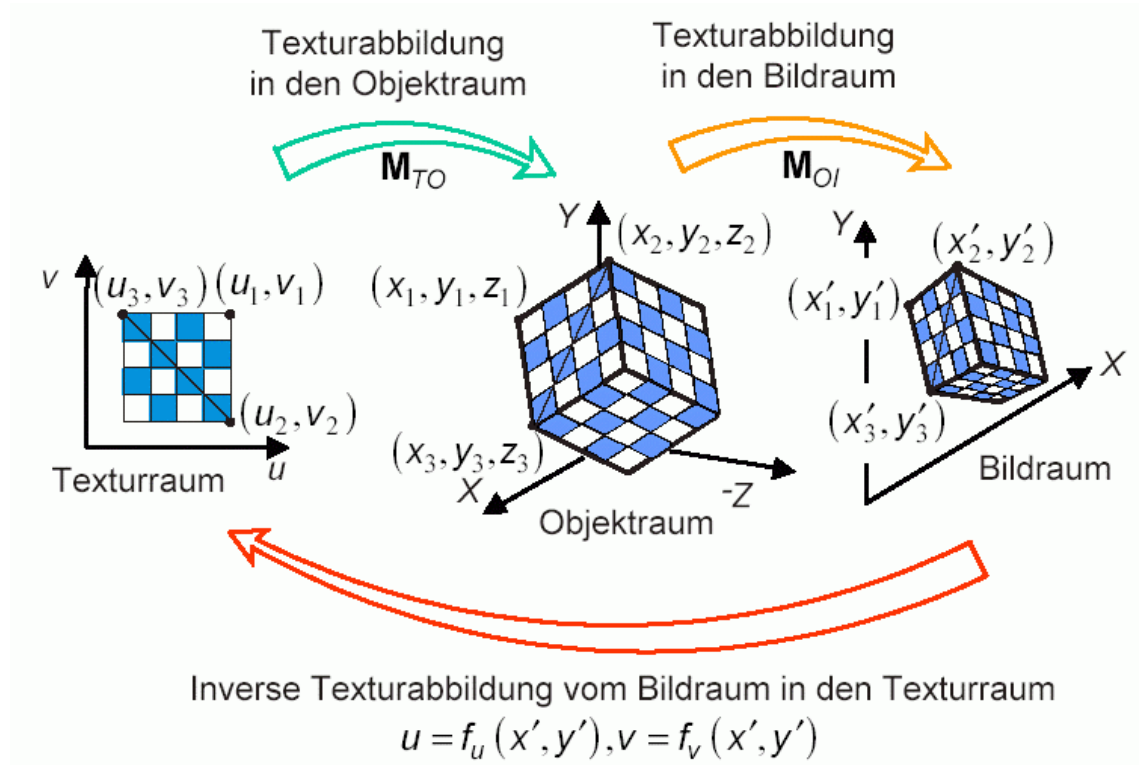
Affine Texturabbildung auf  
 parallel projiziertes Objekt



Affine Texturabbildung auf  
 perspektivisch projiziertes  
 Objekt



Die *perspektivische Texturabbildung* ("projektives Mapping") berücksichtigt die perspektivische Verzerrung beim Übergang vom Objektraum in den Bildraum. Rechnerisch ergibt sich eine gebrochenrationale Funktion:



Bestimmung von:  $u = f_u(x', y'), v = f_v(x', y')$

$$\begin{array}{ccc} [u \ v \ 1] & \xRightarrow{M_{TO}} & [x \ y \ z \ 1] \xRightarrow{M_{OI}} [x' \ y' \ 1] \\ \text{Texturraum} & & \text{Objektraum} \quad \text{Bildraum} \end{array}$$

Transformationsmatrix:  
Texturraum nach Objektraum

$$M_{TO} = \begin{bmatrix} a_{11} & a_{12} & a_{13} \\ a_{21} & a_{22} & a_{23} \\ a_{31} & a_{32} & a_{33} \\ 0 & 0 & 1 \end{bmatrix}$$

Transformationsmatrix:  
Objektraum nach Bildraum

$$M_{OI} = \begin{bmatrix} 1 & 0 & 0 & 0 \\ 0 & 1 & 0 & 0 \\ 0 & 0 & 1/d & 1 \end{bmatrix} \text{ Zentral-} \\ \text{projektion}$$

Transformationsmatrix: Texturraum nach Bildraum

$$M_{TI} = M_{OI} \times M_{TO} = \begin{bmatrix} a_{11} & a_{12} & a_{13} \\ a_{21} & a_{22} & a_{23} \\ a_{31}/d & a_{32}/d & a_{33}/d \end{bmatrix}$$

Man erhält:

$u$  von der Form  $u = (ax' + by' + c) / q$ ,

$v$  von der Form  $v = (dx' + ey' + f) / q$ ,

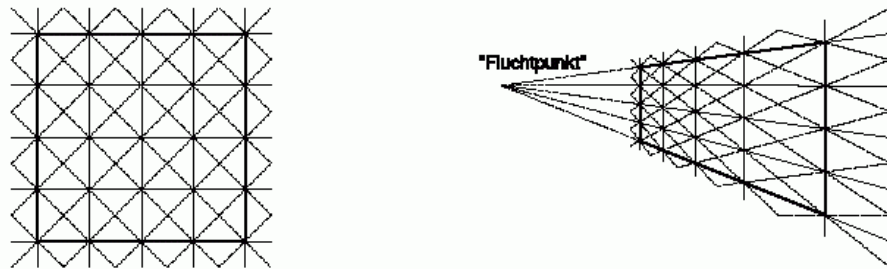
mit  $q = gx' + hy' + j$ .

- projektives Mapping

- „virtueller“ Fluchtpunkt, in dem sich die Linien treffen
- Berechnung Texturkoordinaten  $\rightarrow$  Bildkoordinaten:

$$x_s = \frac{au + bv + c}{gu + hv + i} \quad y_s = \frac{du + ev + f}{gu + hv + i}$$

- Inverse hat eine ähnliche Form mit anderen Koeffizienten
- Ableitung der Koeffizienten für jedes texturierte Polygon
- erhält Linien, aber generell keine gleichen Abstände



- Bilineares Mapping wird manchmal (eher selten) verwendet.
- Affines und projektives Mapping wird bevorzugt: inverse Abb. kann einfacher berechnet werden

Beachte: affines Mapping von Texturkoordinaten zu Objektkoordinaten und perspektivische Projektion beim Rendering resultiert in projektivem Mapping von Texturkoordinaten in Bildkoordinaten.

Mehrere *Algorithmen* zum eigentlichen Texturieren:

- häufig angewandt: Bildraum-Scan

```
foreach y' do
  foreach x' do
    { berechne u(x', y'), v(x', y')
      kopiere texture(u, v) nach bild(x', y') }
```

- Kopieren der Textur kann auch durch Manipulation der Beleuchtungsgleichung ersetzt werden.

Die bisher beschriebenen Ansätze betreffen Textur-Mapping für ein einzelnes Polygon.

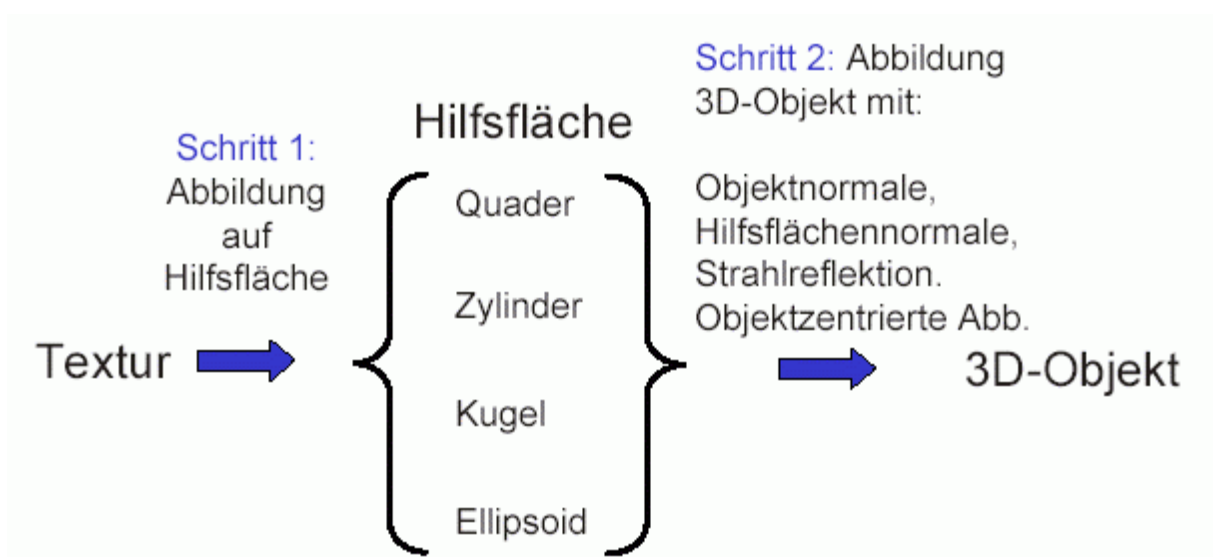
- Besteht ein Objekt aus sehr wenigen Polygonen, so kann ein Anwender die Zuordnung der Polygone zur Textur-Referenzfläche u.U. noch interaktiv vornehmen
- bei komplexeren Objekten ist dies unmöglich

⇒ *Zweischrittverfahren (Two-Part Mapping, Two-Pass-Method)*

Automatisierung der  $(u, v)$ -Berechnung, erstmals vorgestellt von Bier & Sloan 1986.

*Grundidee:* ein komplexes Objekt wird von einer einfach parametrisierbaren, virtuellen Fläche umhüllt (meist Zylinder, Kugel oder Quader), die 2D-Textur wird dann zunächst einmal auf diese umhüllende Fläche abgebildet, und erst von dort auf die Objektoberfläche.

$$\begin{array}{ccccc}
 & S & & O & \\
 (u, v) & \longrightarrow & (x_i, y_i) & \longrightarrow & (x_o, y_o, z_o) \\
 \text{texture space} & \longrightarrow & \text{intermediate space} & \longrightarrow & \text{object space}
 \end{array}$$



einfachster Fall:

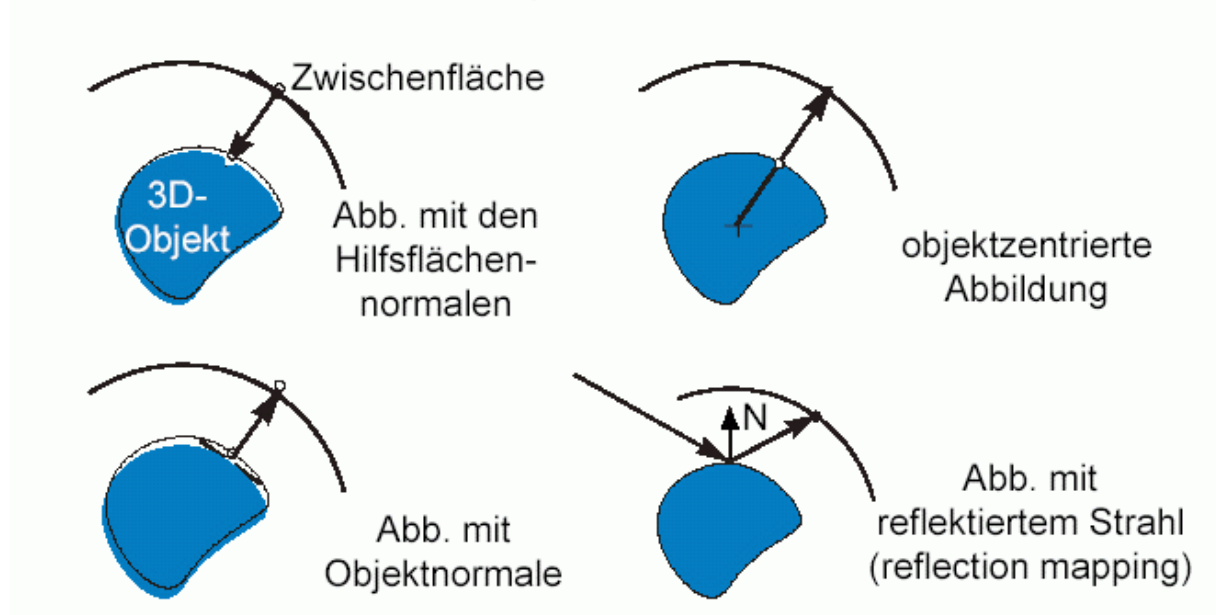
*planares Mapping*

Abbildung auf eine Ebene und dann auf das Objekt

- einfachste Art des Mapping
- allg.: 3 Rotationen, 3 Translationen und Skalierung notwendig, um die Textur in der Ebene zu plazieren
- der wesentliche, ggf. vom Benutzer zu steuernde Teil ist die Skalierung (und eventuelle Wiederholung des Texturmusters auf der Ebene, wenn dies gewünscht ist).

Bei komplizierteren Zwischenflächen:

Vier mögliche Abbildungen von der texturierten Zwischenfläche auf die Oberfläche des 3D-Objektes



man unterscheidet nach Art der Zwischenfläche:

- Box-Mapping
- Zylinder-Mapping
- Kugel-Mapping

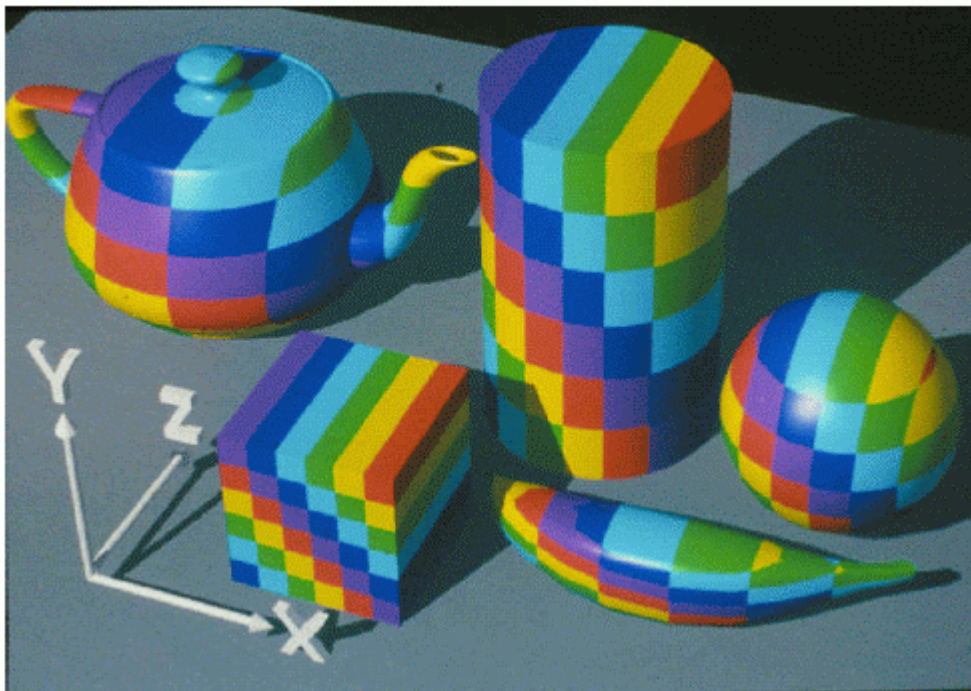
### *Box-Mapping:*

umhüllende Fläche = Quader, i. d. Regel die achsenparallele Bounding Box des Objekts

mögliche Parametrisierung von Punkten in der Box:

längste Kante des Quaders =  $u$ -Achse, zweitlängste Kante =  $v$ -Achse

Beispiel für Anwendung:



### *Zylinder-Mapping:*

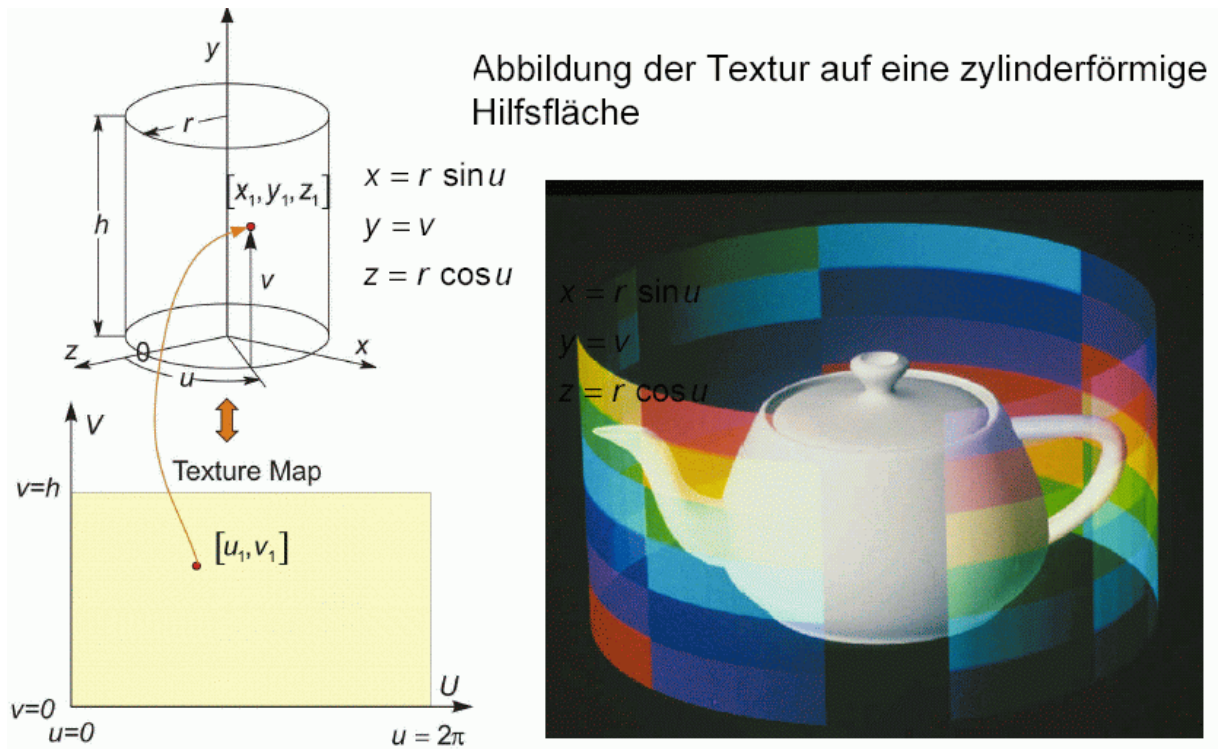
- Abbildung auf einen Zylinder und dann auf das Objekt
- insbes. nützlich, wenn das Objekt rotationssymmetrisch ist

Mapping-Funktion:

$$S \begin{matrix} (\theta, h) \longleftarrow (u, v) = [ar(\theta - \theta_0), d(h - h_0)] \quad -\pi < \theta < \pi \end{matrix}$$

- Diskontinuität ("Naht") an einer Stelle parallel zur Mittelachse





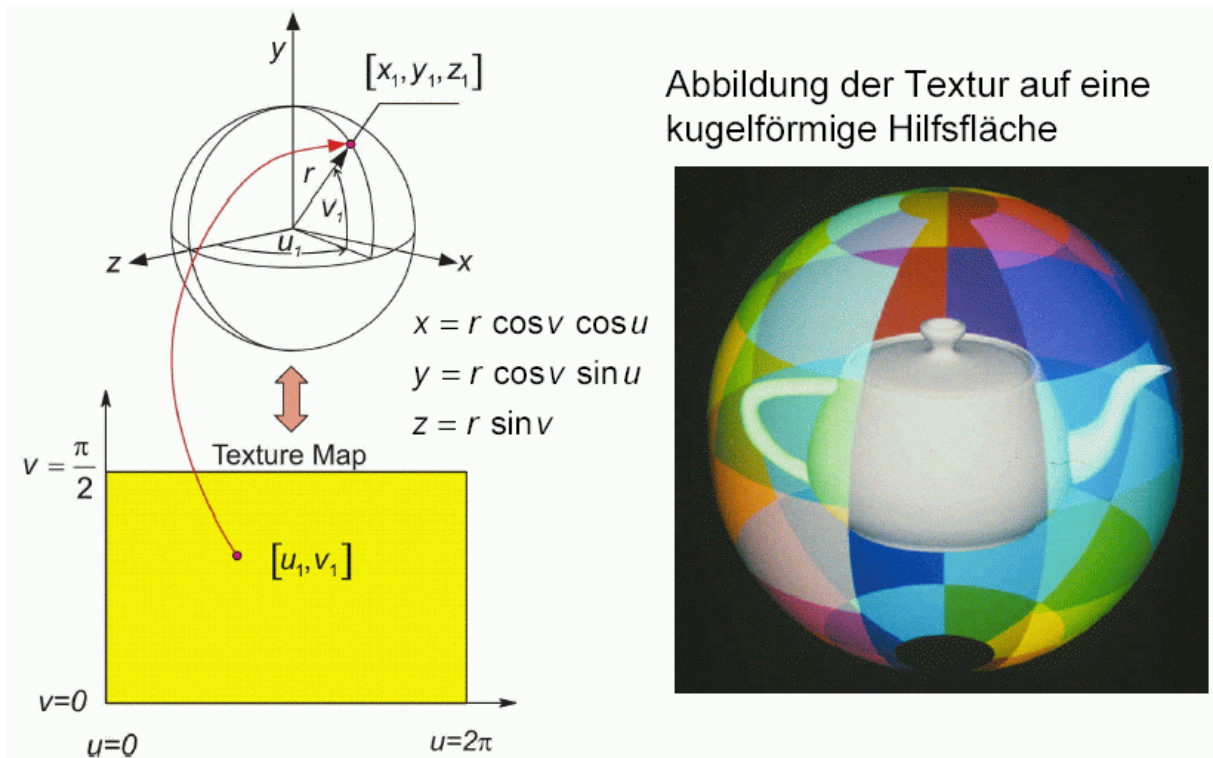
Anwendung:



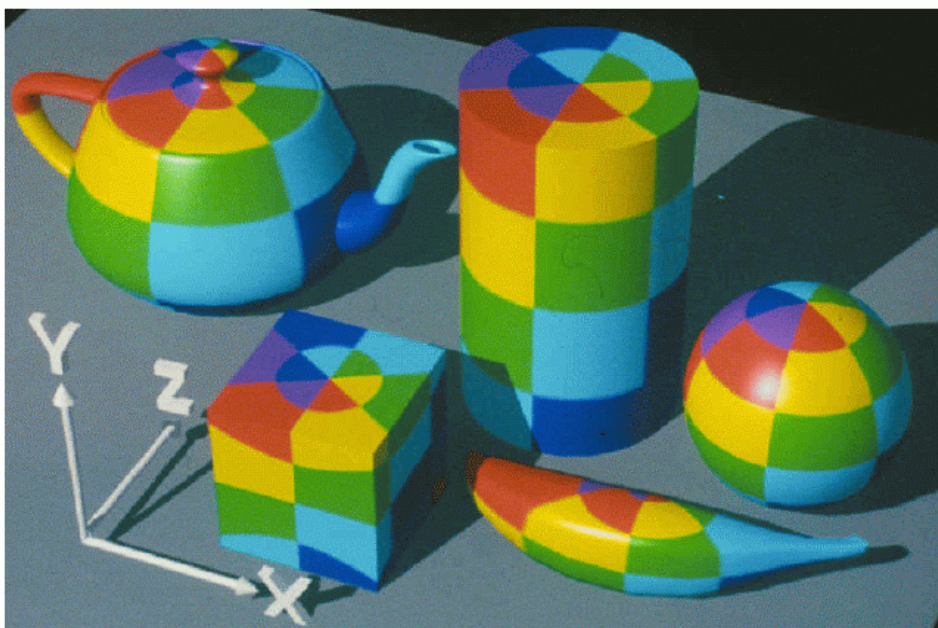


## Kugel-Mapping (sphärisches Mapping):

- Abbildung auf eine Kugel (bzw. 2 Halbkugeln) und dann auf das Objekt
- stereografische Projektion für die Abb. auf die Halbkugeln
- Diskontinuität entlang des Äquators
- generell keine verzerrungsfreie Abb. einer ebenen Fläche auf eine Kugeloberfläche und umgekehrt möglich



## Anwendungsbeispiel:



Anwendung von Texture Mapping auf das Referenzbild aus dem Kapitel über Beleuchtungsrechnung:



## Texture Mapping

*Probleme bei Verwendung von Rasterbildern als Texturen im Texture Mapping:*

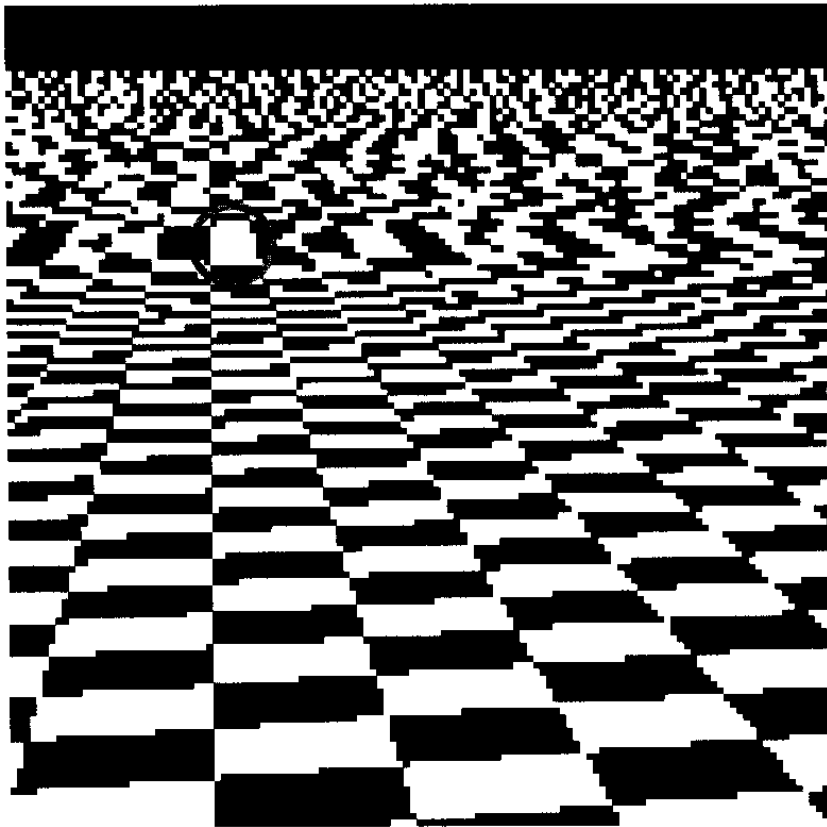
Aliasing, d.h. visuelle Artefakte, die dadurch entstehen, dass viele Texel auf einen Pixel abgebildet werden können

Abhilfe:

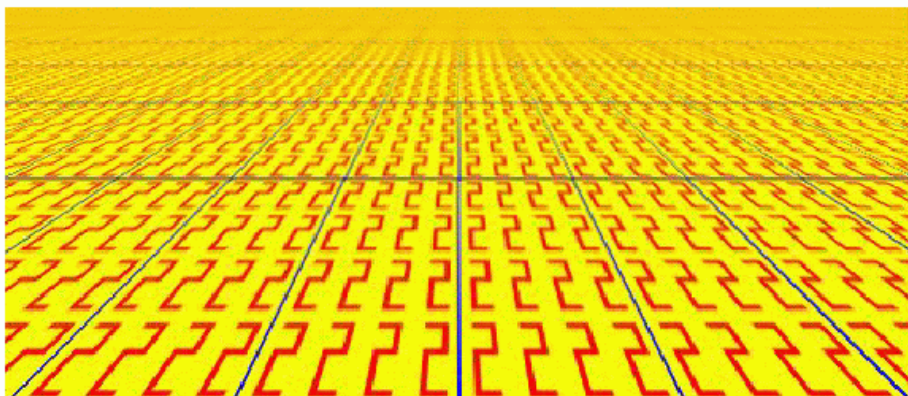
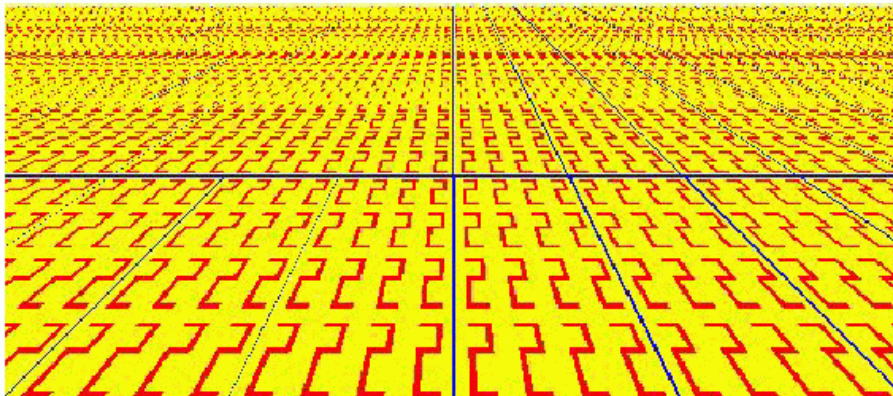
- Texturberechnung mit Antialiasing-Techniken (s. Kapitel 5)
- Kontrolle des "Footprints" = Urbild eines Display-Pixels in der Texturebene
- ggf. mit verschiedenen Texturen für verschiedene Auflösungsschärpen arbeiten ("Mip-Mapping", s.u.)



Aliasing-Effekte:



texturierte Ebene ohne und mit Antialiasing:



## *Environment Mapping / Reflection Mapping*

= eine Möglichkeit, Reflektionen (approximativ) mit Hilfe von Textur-Hardware (und ohne Raytracing, d.h. schnell) zu berechnen

### *Grundidee:*

Ist ein Objekt klein i. Vgl. zum Abstand zu umgebenden Objekten, so hängt die einfallende Beleuchtungsstärke nur von der Richtung, nicht von der Position eines Punktes auf dem Objekt ab  $\Rightarrow$  die einfallende Beleuchtung kann für ein Objekt vorberechnet und in einer 2D-Textur, der *Environment Map*, gespeichert werden.

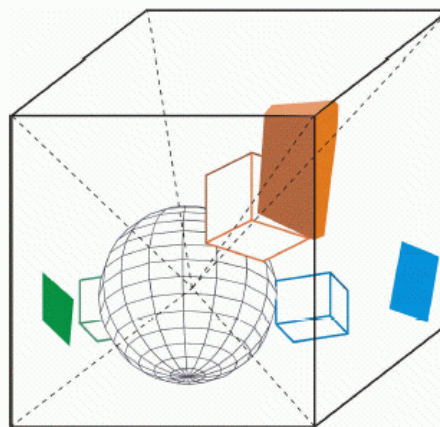
### *Realisierung:*

Das reflektierende Objekt wird von einer virtuellen Zwischenfläche (Kugel, Box...) (wie beim two-pass texture mapping) umgeben, auf deren Innenseite die Szenenumgebung als 2D-Textur (Environment Map) aufgetragen ist.

Einem Punkt  $P$  auf der Objektoberfläche werden dann Texturkoordinaten  $(u, v)$  über den reflektierten Strahl vom Betrachter zugeordnet.

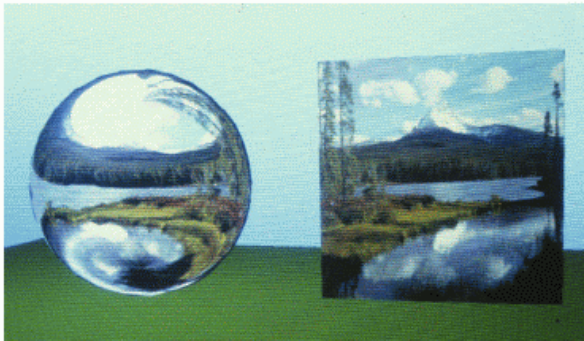
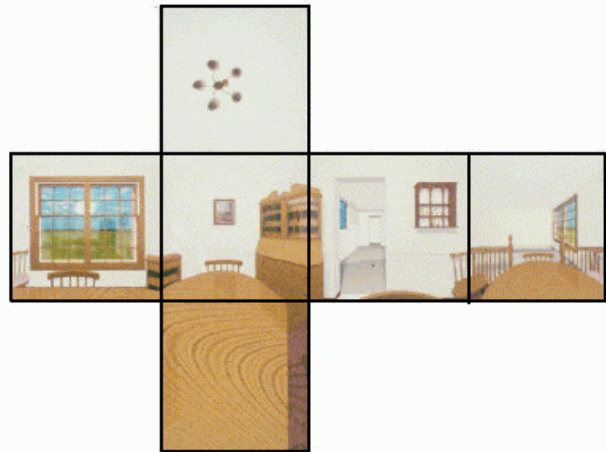
Für die Beleuchtungsrechnung wird dann ein erweitertes Phong-Modell mit einem Reflektions-Summanden benutzt.

**1. Schritt:** Projektion der Szene vom Zentrum des zu texturierenden 3D-Objektes auf die sechs Seitenflächen des umgebenden Kubus

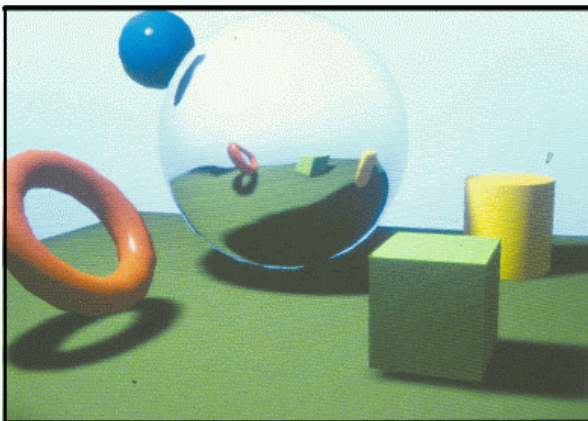


**2. Schritt:** Reflection Mapping

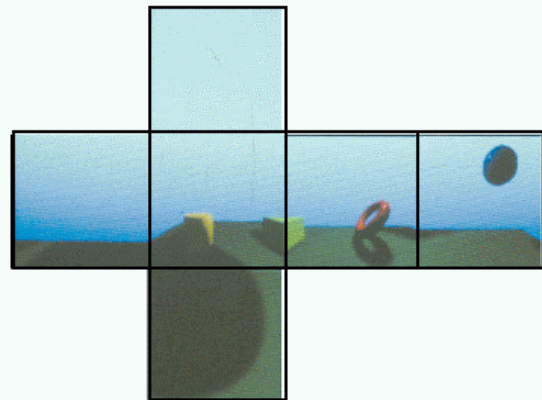
**Beispiel:**



projizierte 3D-Szene



Abwicklung des  
Environment-Kubus

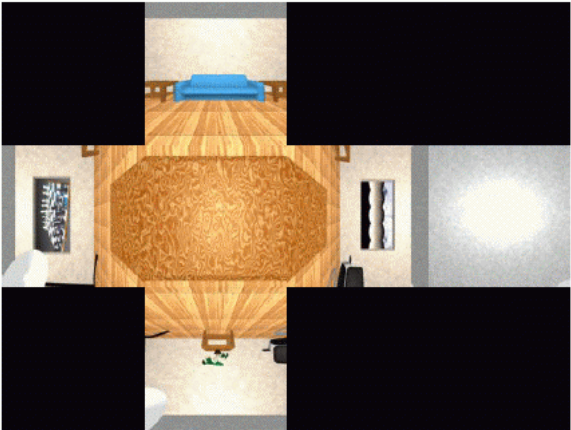


Verschiedene Varianten:

- Kugel (schon bei Blinn & Newell 1976)
- Würfel (Greene 1986)
- 2 Paraboloiden ("dual-parabolisches Mapping", Heidrich & Seidel 1999) – gleichmäßigere Abtastung als beim Sphere Mapping, weniger Aliasing, einfache Matrixoperationen für die Berechnung



Beispiele:







Reflection Mapping

## Reflection-Mapping für Fenster-Rahmen

– Kein Ray-Tracing !!



### *Vorteile des Environment Mapping*

- schnell und einfach zu berechnen
- liefert gute Ergebnisse, wenn die Textur z.B. den Himmel oder einen weit entfernten Horizont repräsentiert
- kann verwendet werden, um Reflexe von ausgedehnten Lichtquellen darzustellen

### *Probleme des Environment Mapping*

- Die Reflektionsberechnung ist nur dann korrekt, wenn sich der Objektpunkt  $P$  im "Weltmittelpunkt" (Zwischenflächen-Mittelpunkt)  $W$  befindet. Je größer der Abstand zwischen  $P$  und  $W$ , desto stärker die Verzerrungen
- Ist die Environment Map schlecht parametrisiert, können erhebliche Aliasing-Probleme auftreten
- Es wird keine Verdeckungsrechnung durchgeführt
- Szenenobjekte können sich nicht gegenseitig widerspiegeln
- Vorsicht vor Artefakten an den Kanten und "Nahtstellen" des Projektionskörpers und durch Interpolation